

УДК 524.3—48—735

ФОТОРОЖДЕНИЕ ЭЛЕКТРОННО-ПОЗИТРОННЫХ ПАР В КОМПАКТНЫХ РЕНТГЕНОВСКИХ ИСТОЧНИКАХ

Ф. А. АГАРОНЯН, А. М. АТОЯН, А. М. НАГАПЕТЯН

Поступила 5 июля 1982

Принята к печати 27 января 1983

Обсуждается роль процесса фоторождения электронно-позитронных пар в компактных рентгеновских источниках. Получены спектральные характеристики электронов и позитронов, рождающихся в изотропном облаке фотонов.

1. *Введение.* Поиски рентгеновского излучения от γ -источников, открытых специализированными спутниками COS-B и SAS-2, показали, что большинство из них обладает слабым излучением ($F_x \lesssim 10 \mu/y$) в интервале энергии 2—10 кэВ [1]. В то же время многие яркие рентгеновские источники (например, Sco X-1 или Cyg X-1) не видны в жестких γ -лучах на уровне чувствительности современных γ -телескопов. Одной из причин этой довольно неожиданной антикорреляции между рентгеновскими и γ -потоками могло бы быть поглощение γ -квантов в фотон-фотонных столкновениях с образованием электронно-позитронных пар.

Поглощение γ -квантов в компактных рентгеновских источниках впервые рассматривалось Хертрихом в работе [2], где было показано, что в источниках со светимостью $L_x \gtrsim 10^{36}$ эрг/с и характерными размерами $R \lesssim 10^7$ см имеет место сильное ослабление потоков выходящего γ -излучения, за исключением ситуации, когда генерируемые фотоны имеют сильную направленность. В частности, присутствие в спектре пульсара NP 0531+21 в Крабовидной туманности как рентгеновских, так и γ -фотонов свидетельствует об анизотропном механизме генерации излучения этого источника.

В то же время следует отметить, что при прохождении высокоэнергичных γ -квантов через фотонный газ происходит не только поглощение, но и генерация вторичных гамма-квантов в результате обратного комптоновского рассеяния релятивистских электронов и позитронов на тех же мягких фотонах и, возможно, тормозного излучения и аннигиляции позитронов на лету.

Анализ физических условий в области генерации γ -излучения сейфертовской галактики NGC 4151, квазара 3C 273, а также во многих источниках γ -вспышек показывает, что в них развивается высокоэнергичный электронно-позитронно-фотонный каскад. Основными процессами, участвующими в развитии подобного каскада в горячей плазме, являются фоторождение и аннигиляция $e^+ - e^-$ пар, комптоновское рассеяние, тормозные процессы, упругие $e-e$ рассеяния и т. д. Наблюдательные результаты рентгеновской и гамма-астрономии стимулировали многочисленные работы по изучению этих процессов в астрофизических объектах. Менее всего исследован процесс фоторождения пар. Наиболее подробное рассмотрение, проведенное Никишовым [3] и Гулдом и Шредером [4], относится лишь к вопросу о коэффициенте поглощения γ -кванта в результате фоторождения, не затрагивая характеристик рождающихся электронов и позитронов. Между тем в развитии каскада этот процесс играет ключевую роль, а для построения количественной теории каскада знание спектральных характеристик вторичных электронов и позитронов является необходимым. Данная работа посвящена этому вопросу.

2. Поглощение γ -квантов в фотонном газе. Полное сечение образования пары в системе центра инерции имеет вид (см., например, [5])

$$\sigma = \frac{\pi r_0^2}{\gamma_0^2} \left[\left(2 + \frac{2}{\gamma_0^2} - \frac{1}{\gamma_0^4} \right) \ln(\gamma_0 + \sqrt{\gamma_0^2 - 1}) - \sqrt{\gamma_0^2 - 1} \left(1 + \frac{1}{\gamma_0^2} \right) \right], \quad (1)$$

где $\omega_0 \equiv \gamma_0 mc^2$ есть энергия сталкивающихся фотонов в системе центра инерции и связана с энергиями фотонов в лабораторной системе ω и E_j

$$\omega_0^2 = \frac{\omega E_j (1 - \cos \theta_0)}{2} \geq (mc^2)^2, \quad (2)$$

где θ_0 — угол между импульсами сталкивающихся фотонов.

Из (2) следует, что 2 фотона могут образовать $e^+ - e^-$ пару при условии

$$E_j \geq 2m^2 c^4 / \omega (1 - \cos \theta_0) = 500 \left[(1 - \cos \theta_0) \left(\frac{\omega}{1 \text{ КэВ}} \right) \right]^{-1} \text{ МэВ}. \quad (3)$$

Рассмотрим поглощение γ -квантов с энергией E_γ при прохождении через облако изотропно распределенных фотонов с энергетическим распределением $n(\omega)$. Оптическая толща рассматриваемого облака с характерным размером l равна

$$\tau(E_1) = cl \int \int n(\omega) (1 - \cos \theta_0) \sigma(\omega, E_1, \theta_0) \frac{d\omega d\Omega}{4\pi} = cl \int \frac{n(\omega) \langle \sigma \rangle d\omega}{\frac{m^2 c^4}{E_1}} \quad (4)$$

где

$$\langle \sigma \rangle = \frac{1}{2} \int_{-1}^{(1-2m^2c^4/\omega E_1)} (1 - \cos \theta_0) \sigma d \cos \theta_0 \quad (5)$$

есть усредненное по направлениям сечение (1) для изотропно распределенных моноэнергетических фотонов с энергией ω . Фактор $(1 - \cos \theta_0)$ учитывает поток сталкивающихся фотонов.

Точное интегрирование выражения (5) проводилось Гулдом и Шредером [4]. Однако в дальнейшем мы будем использовать более простое выражение для усредненного сечения $\langle \sigma \rangle$, получаемое при приближенном интегрировании (5):

$$\langle \sigma \rangle = \frac{4\pi r_0^2}{z^4} \left[\left(z^2 - 1 + \frac{1}{2z^2} + \ln 2z \right) \ln(z + \sqrt{z^2 - 1}) + \frac{1}{2} \ln^2 z - \frac{1}{2} \ln^2(z + \sqrt{z^2 - 1}) + \ln 2 \ln z - z \sqrt{z^2 - 1} \right] \quad (6)$$

где $z = \sqrt{\omega E_1 / mc^2}$.

Отметим, что формула (6) обеспечивает точность не хуже 5% при любых значениях z . Усредненное сечение (6) имеет максимум при значении $z = \sqrt{3}$, а для $z \gg 1$ ведет себя по закону $\sim z^{-1} \ln z$.

Хертрихом [2] для произвольного спектра фотонов $n(\omega)$ предлагалась простая приближенная формула для $\tau(E_1)$:

$$\tau(E_1) \simeq \bar{\tau}(E_1) = 2.5 E_s \sigma_0 n(2E_s), \quad (7)$$

где

$$\sigma_0 = 1.7 \cdot 10^{-25} \text{ см}^2 \text{ и } E_s = 2m^2c^4/E_1.$$

Как показывает анализ, формула (7) является корректной лишь для медленно спадающих спектров $n(\omega)$, поскольку она получена в δ -функциональном приближении для сечения фоторождения. В частности, она достаточно хорошо работает (с точностью до фактора 2) для степенных спектров $n(\omega) \sim \omega^{-\alpha}$ с $\alpha \leq 3$. Для данного спектра отношение точного результата интеграла (4) к формуле (7) аппроксимируется выражением

$$\tau/\bar{\tau} \simeq 0.14 \cdot 4^\alpha A(\alpha). \quad (8)$$

Значение функции $A(\alpha)$ и отношение $(\tau/\bar{\tau})$ приведены в таблице:

| α | $A(\alpha)$ | $\tau/\bar{\tau}$ |
|----------|-------------|-------------------|
| 0.5 | 7.06 | 2.01 |
| 1 | 1.74 | 0.99 |
| 2 | 0.41 | 0.93 |
| 3 | 0.20 | 1.82 |

Однако для быстро спадающих (либо узких) спектров выражение (7) может приводить к существенным ошибкам. Так, например, истинная оптическая толщина τ по фоторождению для γ -квантов при прохождении через поле комптонизованного излучения тепловой (максвелловской) плазмы с температурой $kT \sim 0.1 mc^2$ и томсоновской толщиной $\tau_{\text{Томс.}} \sim 1$ более чем на порядок превосходит значение $\bar{\tau}$ по формуле (7).

Зная расстояние до источника и предполагая, что рентгеновское и γ -излучение формируются в одной и той же области, легко найти критический размер $l_{\text{кр}}$ области генерации, начиная с которого ($l \lesssim l_{\text{кр}}$) реакция фоторождения становится существенной:

$$l_{\text{кр}} \approx 6.1 \cdot 10^3 A(\alpha) (E_{\gamma}/mc^2)^{\alpha-1} \frac{(2-\alpha)(mc^2)^{2-\alpha}}{\omega_2^{2-\alpha} - \omega_1^{2-\alpha}} \left(\frac{L_X}{L_{\odot}} \right). \quad (9)$$

где $L_{\odot} = 3.8 \cdot 10^{33}$ врг/с.

Формула (9) соответствует степенному спектру, рассматриваемому в пределах $\omega_1 \leq \omega \leq \omega_2$; L_X — светимость источника в этом диапазоне.

Одновременное рентгеновское и гамма-излучение наблюдалось от ряда активных галактик: от радиогалактики Центавр А [6], от сейфертовской галактики NGC 4151 [7] и от квазара 3C 273 [8]. Рентгеновское излучение этих источников хорошо аппроксимируется пологими степенными спектрами с показателями $\alpha = 1$ до $\alpha = 2$. Используя наблюдательные данные, из выражения (9) получаем следующие значения для $l_{\text{кр}}$: $\sim 10^{18}$ см для 3C 273; $5 \cdot 10^{15}$ см для NGC 4151 и $\sim 10^{14}$ см для Центавра А. Данные по переменности рентгеновского излучения позволяют ограничить размер l области генерации сверху. Так, например, максимальные размеры области генерации фотонов в диапазоне $2 \div 10$ кэВ для 3C 273 и NGC 4151 равны соответственно $3 \cdot 10^{17}$ см и $2 \cdot 10^{13}$ см, что значительно меньше критических размеров $l_{\text{кр}}$ по фоторождению.

Таким образом, если допустить, что рентгеновские и γ -лучи формируются в одной и той же области (к сожалению, до сих пор отсутствуют надежные данные по переменности γ -излучения этих источников, что позволило бы более определенно судить об этом), то обильное образование

электронно-позитронных пар в результате фоторождения становится неизбежным.

Следует, однако, отметить, что условие $\tau_{\pi} > 1$ еще не говорит о том, что γ -кванты не могут эффективно выходить из источника. Действительно, релятивистские электроны и позитроны, генерируемые в результате фоторождения, рассеиваясь в дальнейшем на тех же рентгеновских фотонах, приводят к образованию вторичного γ -излучения. Эффективность этого процесса весьма высока при выполнении условия [9, 10] $(4\omega E_e)/(m^2 c^4) \geq 1$ (что, очевидно, имеет место в данном случае), причем вторичный γ -квант получает практически всю энергию релятивистского электрона E_e [11]. Поэтому вывод работы [12] о том, что во избежание поглощения γ -квантов в ЗС 273 необходимо предположить либо что рентгеновские и γ -лучи генерируются в различных областях, либо что ЗС 273 находится на некосмологическом расстоянии, представляется весьма спорным.

Для корректного ответа на вопрос об условиях выхода γ -квантов из источника необходимо детальное рассмотрение развития высокоэнергичного каскада, в котором процесс фоторождения играет существенную роль. Поэтому исследование спектров рождающихся при этом процессе электронов и позитронов является необходимым.

3. Спектр электронно-позитронных пар. Дифференциальное сечение процесса фоторождения электронно-позитронных пар равно (см., например, [5])

$$d\sigma = \frac{r_0^2 d\vec{p}_+ d\vec{p}_-}{2\varepsilon_+ \varepsilon_- \omega_1 \omega_2 (1 - \cos \theta_0)} (B + 4A - 4A^2) \delta(\vec{k}_1 + \vec{k}_2 - \vec{p}_+ - \vec{p}_-) \times \\ \times \delta(\omega_1 + \omega_2 - \varepsilon_+ - \varepsilon_-). \quad (10)$$

Величины

$$A \equiv \left(\frac{1}{x_1} + \frac{1}{x_2} \right), \quad B = \left(\frac{x_1}{x_2} + \frac{x_2}{x_1} \right) \quad (11a)$$

выражаются через релятивистские инварианты

$$x_1 = -2p_+^{(4)} k_1^{(4)}, \quad x_2 = -2p_+^{(4)} k_2^{(4)}, \quad (11b)$$

где $p_+^{(4)} = (\vec{p}_+, i\varepsilon_+)$, $p_-^{(4)} = (\vec{p}_-, i\varepsilon_-)$, $k_1^{(4)} = (\vec{k}_1, i\omega_1)$ и $k_2^{(4)} = (\vec{k}_2, i\omega_2)$ есть 4-импульсы позитрона, электрона и сталкивающихся фотонов. Выражение (10) записано в единицах $m = c = \hbar = 1$.

Рассмотрим облако изотропно распределенных фотонов с энергиями ω_1 и ω_2 . Для нахождения спектра электронов и позитронов необходимо усреднить сечение (10) по направлениям импульсов взаимодействующих фотонов \vec{k}_1 и \vec{k}_2 с учетом плотности потока $j = 1 - \cos \theta_0$. При про-

ведении усреднения по направлениям \vec{k}_1 и \vec{k}_2 в качестве независимых переменных удобно выбрать единичные векторы в направлении минимального из импульсов $|\vec{k}_1| \equiv k_1 = \omega_1$ и $|\vec{k}_2| \equiv k_2 = \omega_2$, и в направлении суммарного импульса фотонов $\vec{k} = \vec{k}_1 + \vec{k}_2$. Пусть $\omega_1 \leq \omega_2$. Тогда спектр электронов (позитронов), рождающихся при аннигиляции двух фотонов с энергиями ω_1 и ω_2 и произвольными направлениями \vec{k}_1 и \vec{k}_2 , можно записать в виде

$$\frac{dN(\varepsilon_{\pm}, \omega_1, \omega_2)}{d\Omega_e} = \frac{1}{16\pi^2} \int d\Omega_{\vec{k}} \int d\Omega_{\vec{k}_1, d\Omega_e} \frac{d\sigma}{d\Omega_e} (1 - \cos \theta_0). \quad (12)$$

Здесь $d\Omega_e$ есть телесный угол, в котором распространяется электрон. Отметим, что выбор пары векторов \vec{k} и \vec{k}_1 ($\omega_1 \leq \omega_2$) является однозначным, поскольку пара \vec{k} и \vec{k}_2 (вместо \vec{k} и \vec{k}_1) не является независимой для всех возможных значений $k = |\vec{k}_1 + \vec{k}_2|$.

Пусть θ есть угол между векторами \vec{p}_+ и \vec{k} , а ψ — между \vec{k}_1 и \vec{k} . Тогда, записав законы сохранения энергии и импульса в виде $k^{(4)} - p_+^{(4)} = p_-^{(4)}$, а затем возведя его в квадрат, получим

$$\cos \theta = \frac{2\varepsilon_+ E - E^2 + k^2}{2kp_+}. \quad (13)$$

Из тождества $k^{(4)} - k_1^{(4)} \equiv k_2^{(4)}$ находим соотношение для

$$\cos \psi = \frac{k^2 - E\Delta}{2k\omega_1}, \quad (14a)$$

$$d \cos \psi = \frac{k^2 + E\Delta}{2\omega_1 k^2} dk, \quad (14b)$$

где $\Delta \equiv \omega_2 - \omega_1$, $E \equiv \omega_2 + \omega_1$. Используя соотношения (13) и (14a), можно выразить релятивистские инварианты x_1 и x_2 (116) через переменные k и ε_+ . Действительно, поскольку $x_1 = -2p_+^{(4)} k_1^{(4)} = 2\omega_1(\varepsilon_+ - p_+ \cos \theta_1)$, где θ_1 есть угол между \vec{p}_+ и \vec{k}_1 , используя равенства (13) и (14), а также равенство

$$\cos \theta_1 = \cos \theta \cos \psi - \sin \theta \sin \psi \cos \varphi, \quad (15)$$

где φ — аксиальный угол между плоскостями (\vec{k}, \vec{p}_+) и (\vec{k}, \vec{k}_1) , получаем

$$z_1 = \frac{E^2 - k^2}{2k^2} [t(x) + u \cos \varphi], \quad (16)$$

где введены обозначения

$$x = z_- - E/2,$$

$$t(x) = k^2 + 2x\Delta, \quad (17)$$

$$u \equiv u(x^2) = \sqrt{(k^2 - \Delta^2) \left[k^2 \left(1 - \frac{4}{E^2 - k^2} \right) - 4x^2 \right]}.$$

Для определения z_2 заметим, что $z_1 + z_2 = -2p^{(4)}k^{(4)} = 2(z_+ E - p_+ k \cos \theta) = E^2 - k^2$. Тогда, используя уравнения (16) и (17), находим

$$z_2 = \frac{E^2 - k^2}{2k^2} [t(-x) - u \cos \varphi]. \quad (18)$$

Подставляя выражения (16) и (18) в сечение (10), интегрируя выражение (12) по $d\Omega_k, d\Omega_{k_1} = 2\pi d \cos \theta d \cos \varphi d\varphi$ и переходя к переменной k согласно (14б), получаем спектр электронов и позитронов

$$I(z_+, \omega_1, \omega_2) = \frac{dN}{d\epsilon} = \frac{\pi_0^2 d\Omega_+}{16\omega_1^2 \omega_2} \int_0^{\epsilon} \frac{k^2 + E\Delta}{k^3} \{\Phi(k, x) + \Phi(k, -x)\} dk, \quad (19)$$

где

$$\Phi(k, x) = \left| 1 + \frac{4}{E^2 - k^2} - \frac{8}{(E^2 - k^2)^2} \left| \frac{2k}{R(k, x)} - \frac{16k(k^2 + 2x\Delta)}{(E^2 - k^2)^2 R^3(k, x)} - 1, \right. \right. \quad (20a)$$

$$R(k, x) = \sqrt{4 \frac{k^2 - \Delta^2}{E^2 - k^2} + (2x + \Delta)^2}; \quad \epsilon = z_+. \quad (20b)$$

Верхний и нижний пределы интегрирования по k при данном ϵ определяются из условия $|\overline{k^2 + \epsilon^2 - 2kp} < E - \epsilon < \sqrt{k^2 + \epsilon^2 + 2kp}$, которое следует из интегрирования δ -функции,

$$\int \dots \delta(E - \epsilon - \sqrt{k^2 + \epsilon^2 - 2kp \cos \theta}) d \cos \theta, \quad (p = p_+).$$

Решая данное неравенство, получаем

$$|x| < \frac{k}{2} \sqrt{1 - \frac{4}{E^2 - k^2}}; \quad (21a)$$

$$k^2 \leq b^2 = \frac{1}{2} \left| \frac{E^2}{4} - 1 + x^2 + \sqrt{\left(\frac{E^2}{4} - 1 + x^2 \right)^2 - E^2 x^2} \right|.$$

$$k^2 \geq a^2 = \max \left\{ \Delta^2; \frac{1}{2} \left[\frac{E^2}{4} - 1 + x^2 - \sqrt{\left(\frac{E^2}{4} - 1 + x^2 \right)^2 - E^2 x^2} \right] \right\}. \quad (216)$$

Из анализа выражений (21) непосредственно следует интервал изменения $x = \varepsilon - E/2$. При $1/\omega_1 + 1/\omega_2 \leq 2$ получаем, что $1 \leq \varepsilon \leq E - 1$. При $1/\omega_1 + 1/\omega_2 > 2$ покоящиеся электроны (позитроны) рождаться не могут. Действительно, в этом случае из условия $a^2 (= \Delta^2) \leq b^2$ следует

$$|x| \leq \frac{\Delta}{2} \sqrt{1 - \frac{4}{E^2 - \Delta^2}}.$$

Подставляя сюда значения $\Delta \equiv \omega_2 - \omega_1$ ($\omega_2 \geq \omega_1$) и $E \equiv \omega_1 + \omega_2$, получаем

$$1 < \frac{\omega_1 + \omega_2}{2} - \frac{\omega_2 - \omega_1}{2} \sqrt{1 - \frac{1}{\omega_1 \omega_2}} \leq \varepsilon \leq \frac{\omega_1 + \omega_2}{2} + \frac{\omega_2 - \omega_1}{2} \sqrt{1 - \frac{1}{\omega_1 \omega_2}}. \quad (22)$$

Отметим, что из (22) непосредственно следует полученное ранее условие $\omega_1 \omega_2 > 1$ для порога реакции фоторождения в изотропном облаке.

Интегрирование (19) и (20) приводит в общем случае к громоздким выражениям. Однако в наиболее важном случае, когда γ -кванты высоких энергий ω_2 рождают пару в облаке мягких фотонов ($\omega_1 \ll 1$) оказывается возможным получить для спектра рождающихся частиц достаточно простое аналитическое выражение. Действительно, из условия $\omega_1 \ll 1$ следует, что $1/\omega_1 + 2/\omega_2 > 2$, и тогда нижний предел интегрирования в (10) для всех допустимых значений x равен $\Delta = \omega_2 - \omega_1$, и значения импульса меняются в узком интервале $\omega_2 - \omega_1 \leq k < \omega_2 + \pi_1$. Заменяя в (21а) величину k перед корнем на $\omega_2 = E$ и разрешая полученное неравенство относительно k^2 , находим верхний предел для данного ε :

$$k^2 \leq E^2 \left[1 - \frac{1}{(E - \varepsilon) \varepsilon} \right]. \quad (23)$$

Замечая, что в рассматриваемом случае во всей области интегрирования по k выполняется неравенство $(\Delta \pm 2x)^2 \gg 4(k^2 - \Delta^2)/(E^2 - k^2)$, можем упростить подынтегральное выражение в (10), так как для $R(k, \pm x)$ (116) имеем:

$$\begin{aligned} R(k, x) &\simeq \Delta + 2x \simeq \varepsilon, \\ R(k, -x) &\simeq \Delta - 2x \simeq E - \varepsilon. \end{aligned} \quad (24)$$

Подставляя (24) в (20а) и интегрируя получающееся выражение (19) по k , получаем спектр рождающихся частиц

$$\begin{aligned} I(\varepsilon, \omega_1, \omega_2) &= \frac{\pi r_0^2}{4\omega_1^2 \omega_2^2} \left[\frac{4E^2}{(E-\varepsilon)^2} \ln \frac{4\omega_1(E-\varepsilon)\varepsilon}{E} - 8\omega_1 E + \right. \\ &\quad \left. + \frac{2(2\omega_1 E - 1)E^2}{(E-\varepsilon)\varepsilon} - \left(1 - \frac{1}{\omega_1 E}\right) \frac{E^3}{(E-\varepsilon)^2 \varepsilon^2} \right], \end{aligned} \quad (25)$$

где $\varepsilon = \varepsilon_{\pm}$, $E \simeq \omega_2$, ($mc^2 = 1$). Пределы изменения ε определяются из (22):

$$\frac{E}{2} \left(1 - \sqrt{1 - \frac{1}{\omega_1 E}}\right) \leq \varepsilon \leq \frac{E}{2} \left(1 + \sqrt{1 - \frac{1}{\omega_1 E}}\right). \quad (26)$$

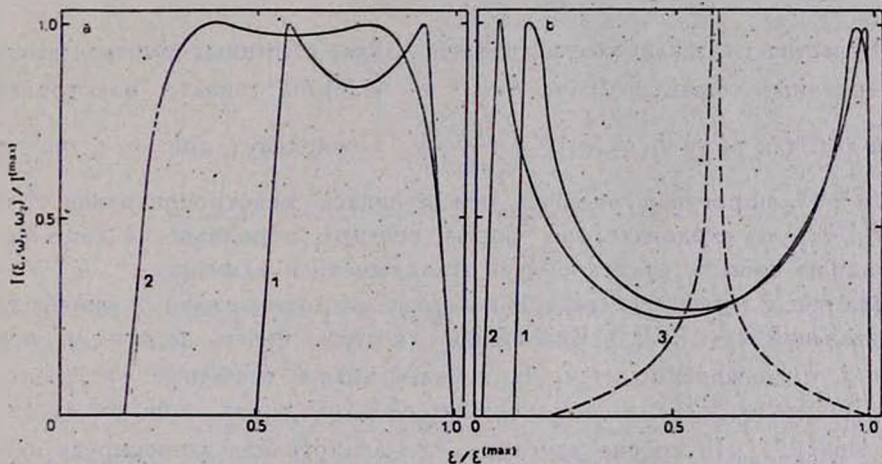


Рис. 1. Дифференциальные спектры электронов и позитронов $I(\varepsilon, \omega_1, \omega_2)$, генерируемых в облаке изотропно распределенных моноэнергетических фотонов с энергиями ω_1 и ω_2 . а) $\omega_1 \omega_2 = 2 (mc^2)^2$: 1 — $\omega_1 = 1 mc^2$, $\omega_2 = 2 mc^2$; 2 — $\omega_1 = 0.2 mc^2$, $\omega_2 = 10 mc^2$; б) $\omega_1 \omega_2 = 10 (mc^2)^2$: 1 — $\omega_1 = 1 mc^2$, $\omega_2 = 10 mc^2$; 2 — $\omega_1 = 0.1 mc^2$, $\omega_2 = 100 mc^2$; 3 — $\omega_1 = \omega_2 = \sqrt{10} mc^2$. Спектры отложены в относительных единицах.

На рис. 1 приведены (в относительных единицах) дифференциальные спектры электронов (позитронов), вычисленные по формулам (19), (20). Спектр является симметричным относительно точки $(\omega_1 + \omega_2)/2$. При $\omega_1 \neq \omega_2$ эта точка соответствует минимуму спектра, а спектр имеет 2 максимума, симметрично расположенных относительно точки минимума. При $\omega_1 \rightarrow \omega_2$ максимумы приближаются, и при $\omega_1 = \omega_2$ сливаются, приводя к ло-

гарифмической расходимости в точке $(\omega_1 + \omega_2)/2$ (спектр 3 на рис. 16), что, однако, не приводит к расходимости полного сечения. Эта расходимость физически объясняется тем, что лобовые столкновения между фотонами при $\omega_1 = \omega_2$ приводят к образованию моноэнергетических электронов и позитронов $\varepsilon_+ = \varepsilon_- = \omega_1 = \omega_2$, т. е. к δ -функциональной расходимости спектра в этой точке. Изотропность распределения фотонов сглаживает эту расходимость и приводит в итоге к логарифмической расходимости.

Следует отметить, что форма спектра электронов сильно зависит от значения параметра $z^2 = \omega_1 \omega_2 / m^2 c^4$. При $z^2 - 1 \lesssim 1$ спектр является пологим даже при $\omega_2 \gg mc^2$ (рис. 1а). Если же $z^2 \gg 1$, то максимумы становятся ярко выраженными (рис. 16).

В случае, если в облако моноэнергетических фотонов с энергией ω_1 входят высокоэнергичные γ -кванты, распределенные по закону $n(\omega_2) d\omega_2$, спектр вторичных электронов будет

$$I(\varepsilon, \omega_1) = \frac{dN}{d\varepsilon} = \int I(\varepsilon, \omega_1, \omega_2) n(\omega_2) d\omega_2.$$

В частности, в наиболее интересном случае степенных спектров высокоэнергичных γ -квантов $n(\omega_2) \sim \omega_2^{-\alpha}$ и $\omega_1 \ll 1 mc^2$ спектр электронов приводится к виду $F_1(\alpha, \omega_1) F_2\left(\frac{4\omega_1 \varepsilon}{m^2 c^4}\right)$. Поскольку при $\omega_1 \ll mc^2$ и $\omega_2 \gg m^2 c^4 / \omega_1$ пороговая энергия рождающихся электронов равна $\varepsilon^* = m^2 c^4 / 4\omega_1$, то следовательно форма спектра определяется лишь одним параметром α , если энергию откладывать в единицах ε^* .

На рис. 2 приведены спектры электронов (в относительных единицах) для значений $\alpha = 1, 2, 3$. Как видно, спектры имеют максимум при $\varepsilon/\varepsilon^* \simeq 2, 4$, независимо от α . При более низких значениях $\varepsilon/\varepsilon^*$ спектр резко обрывается, а в асимптотике $\varepsilon/\varepsilon^* \gg 1$ ведет себя по закону $\varepsilon^{-(\alpha+1)} \ln(\varepsilon/\varepsilon^*)$. Интересно заметить, что аналогичная зависимость наблюдается в спектрах γ -квантов, генерируемых при аннигиляции позитронов на лету [13], а также при обратном комптоновском рассеянии, если $\frac{4E\varepsilon\omega_1}{m^2 c^4} > 1$ [9, 10].

В случае, когда рентгеновские (полевые) фотоны также имеют некоторое распределение, необходимо провести усреднение по $n(\omega_1)$. Однако, если $n(\omega_1)$ является достаточно узким, например, планковским, то форма спектров на рис. 2 качественно не изменится, а значение масштабного параметра ε^* будет соответствовать значению для $\omega_1 = \bar{\omega} \simeq 3kT$.

В заключение отметим, что данные результаты получены в предположении изотропного распределения двух групп фотонов, что, очевидно, при-

водит к полной изотропии рождающихся электронов. Однако эти результаты применимы также при изотропном распределении фотонов хотя бы одной группы, если нас интересует энергетическое распределение электронов, интегрированное по всем направлениям. В частности, они могут пред-

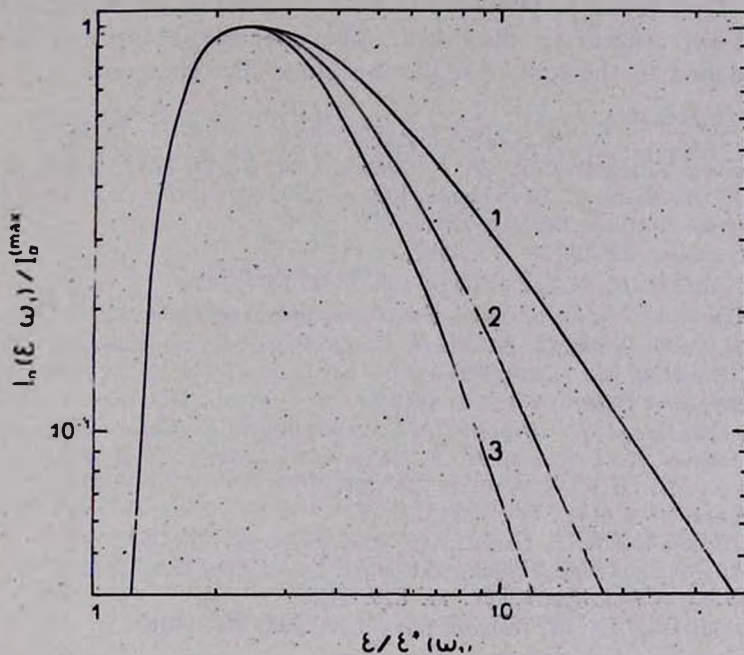


Рис. 2. Дифференциальные спектры электронов и позитронов $I_n(\varepsilon, \omega_1)$ для различных значений α : кр. 1 — $\alpha = 1$; кр. 2 — $\alpha = 2$; кр. 3 — $\alpha = 3$. Спектры отложены в относительных единицах.

ставить реальный интерес в задачах, в которых быстрая изотропизация электронов возможна без существенного искажения начального спектра электронов, например, при рассеяниях на магнитных неоднородностях.

Авторы выражают благодарность А. Г. Ахперджяну и Л. М. Озерному за обсуждения и советы.

Ереванский физический институт
Ереванский государственный университет

PHOTOPRODUCTION OF ELECTRON POSITRON PAIRS IN COMPACT X-RAY SOURCES

F. A. AHARONIAN, A. M. ATOYAN, A. M. NAHAPETIAN

The significance of photoproduction of electron-positron pairs in compact X-ray sources is discussed. The spectral features of the electrons produced in the iontropic photon cloud are obtained.

ЛИТЕРАТУРА

1. *L. Maraschi, T. Markert, K. M. V. Apparao, H. Bradt, H. Helmken, W. Weaton, W. A. Balty, L. E. Peterson, Nature, 272, 679, 1978.*
2. *K. Herterich, Nature, 250, 311, 1974.*
3. *А. И. Никитов, ЖЭТФ, 14, 393, 1962.*
4. *R. J. Gould, G. P. Schroeder, Phys. Rev., 155, 1404, 1967.*
5. *А. И. Ахуесер, В. Б. Берестецкий, Квантовая электродинамика, Наука, М., 1969.*
6. *J. H. Ball, W. K. Ros-, W. Graft, K. M. Price, W. A. Dent, R. W. Hobbs, E. K. Conklin, Ap. J., 210, 836, 1978.*
7. *V. Schönfelder, Nature, 274, 345, 1978.*
8. *B. N. Swanenburg, K. Bennett, G. F. Bignami, P. Caruso, W. Hermsen, G. Kanbach, J. L. Masnou, H. A. Mayer-Hasselwander, J. A. Paul, B. Sacca, L. Scarfi, R. D. Wills, Nature, 275, 298, 1978.*
9. *F. C. Jones, Phys. Rev., 167, 1159, 1968.*
10. *G. R. Blumenthal, R. J. Gould, Rev. Mod. Phys., 42, 237, 1970.*
11. *F. A. Aharonian, A. M. Atoyán, Astrophys. Space Sci., 79, 321, 1981.*
12. *B. McBreen, Astron. Astrophys., 71, L19, 1979.*
13. *F. A. Aharonian, A. M. Atoyán, Phys. Lett. 99B, 301, 1981.*